

# MECÂNICA DE VOO ESPACIAL - DEM 1119

## Aula 11

Prof. André Luís da Silva

### 1 Introdução

#### Órbitas Perturbadas:

- Aceleração perturbativa;
- Equações planetárias de Lagrange;
- Efeito do achatamento do Planeta:
  - Regressão dos nodos e avanço de periastro;
  - Órbitas hélio síncrona e Molniya.

#### Referências da aula:

[1] TEWARI, A. Atmospheric and Space Flight Dynamics: Modelling and simulation with MATLAB and Simulink. Boston: Birkhauser, 2007.

#### Seções 6.1 a 6.4.

[2] CURTIS, H.D. Orbital Mechanics for Engineering Students. 3ª ed., Oxford: Butterworth-Heinemann, 2013.

#### Seção 4.7

[3] Derivation of Lagrange planetary equations: <https://farside.ph.utexas.edu/teaching/celestial/Celestial/node149.html>

As aulas anteriores estudaram as órbitas Keplerianas: soluções do problema de dois corpos, obtidas para o caso em que a única força atuante é a atração gravitacional mútua e ambos os corpos são esféricos ou partículas. Casos tais como os elencados abaixo não são cobertos:

- Existe atração gravitacional de um terceiro corpo (ou mais);
- Algum dos corpos não é esférico ou não pode ser considerado partícula;
- Existem outras forças atuantes, tais como arrasto atmosférico.

Neste sentido, o conteúdo da aula de hoje é apresentado, onde as órbitas keplerianas são assumidas como soluções ideais, e efeitos adicionais são considerados como perturbações.

## 2 Aceleração Perturbativa

O movimento no problema de dois corpos ideal consiste de órbitas Keplerianas: elipse, hipérbole, parábola, com coeficientes constantes no plano orbital. No espaço tridimensional, a orientação de tais órbitas também é constante.

Ao desenvolver a solução do problema de dois corpos, é assumido que a única força que age entre os dois é a gravitacional, proveniente da interação mútua entre eles. Em tal situação pôde-se encontrar uma solução analítica, a partir de seis integrais do movimento.

O problema de dois corpos ideal, embora muito útil, é somente uma aproximação. Na realidade, sempre haverá perturbações extras além da pura atração gravitacional mútua.

As perturbações podem consistir em forças conservativas ou não. Exemplos de perturbações conservativas são:

- Gravidade de terceiro corpo;
- Achatamento de um planeta, fazendo sua geometria diferir de uma esfera;
- Força magnética proveniente da interação de correntes elétricas internas do corpo com o campo magnético do planeta.

Alguns exemplos de perturbações não conservativas:

- Arrasto atmosférico;
- Pressão solar;
- Disparo de propulsor.

Resolver um problema com várias forças perturbativas agindo simultaneamente é muito difícil. Mas felizmente muitos casos de interesse prático têm perturbações que não se manifestam com a mesma intensidade, na mesma região, ao mesmo tempo.

Assim, em muitas situações é bem comum que **uma perturbação seja predominante com respeito as demais**, podendo ser feita uma análise para o efeito da perturbação principal ignorando as demais.

Por exemplo:

- em órbita baixa, a perturbação de maior intensidade costuma ser o arrasto atmosférico;
- Em uma órbita interplanetária, a perturbação mais relevante costuma ser a de terceiro corpo.

Em termos matemáticos, como visto na aula 3, o problema de dois corpos é escrito para o movimento relativo de uma partícula de massa  $m$  com respeito a outra de massa  $M$ , sendo a equação do movimento dada por:

$$\frac{d^2\mathbf{r}}{dt^2} + \mu \frac{\mathbf{r}}{r^3} = 0 \quad (1)$$

onde  $\mathbf{r}$  é o vetor posição relativa da partícula  $m$  com respeito a  $M$ .  $\mu = GM$  quando  $m \ll M$ .

Outra forma de ver este problema, sem afetar a solução kepleriana ideal, é supor que  $M$  é um planeta esférico e  $m$  é um corpo de dimensões insignificantes quando comparado a ele. Nesta situação o vetor posição é medido entre  $m$  e o centro de massa (CM) do planeta. Isto é válido, por exemplo: o movimento de satélites artificiais ao redor da Terra.

Neste contexto, a forma mais comum de avaliar uma perturbação é pela **inserção de uma aceleração perturbativa  $\mathbf{a}_d$**  no lado direito da equação 1:

$$\frac{d^2\mathbf{r}}{dt^2} + \mu \frac{\mathbf{r}}{r^3} = \mathbf{a}_d \quad (2)$$

Quando a força perturbativa é conservativa, a aceleração perturbativa pode ser escrita como o gradiente de uma função potencial  $\Phi$ :

$$\mathbf{a}_d = \nabla\Phi^T \quad (3)$$

Neste caso, ao invés de um problema vetorial de 3 componentes, o caso seria descrito por uma função escalar  $\Phi$ , que seria o potencial perturbativo.

A aceleração perturbativa (ou potencial perturbativo) é estudada na sequência para casos específicos. O primeiro deles é o efeito do achatamento dos pólos do planeta.

### 3 Efeito do Achatamento dos Pólos

Como discutido acima, a equação de dinâmica do problema de dois corpos é válida quando o planeta possui massa esfericamente distribuída, de modo que seu modelo gravitacional é o mesmo de uma massa pontual:

$$\mathbf{g} = GM \frac{\mathbf{r}}{r^3} \quad (4)$$

Se um planeta possui achatamento nos pólos, o seu modelo gravitacional é determinado por uma expansão em série do potencial gravitacional. Quando o corpo possui massa distribuída de maneira axis simétrica, o potencial é determinado pelas constantes de Jeffery.

O primeiro termo da expansão em série é a gravidade do planeta esférico. Os demais representam o desvio de massa em relação à esfera. Nesta situação, o modelo ideal do problema de dois corpos não é mais válido. Assim, é necessário adicionar uma **aceleração perturbativa**, a qual é determinada pelas constantes de Jeffery.

Neste contexto, a dinâmica de órbita perturbada da equação 2 é utilizada, com a aceleração perturbativa dada pela equação 3:

$$\frac{d^2\mathbf{r}}{dt^2} + \mu \frac{\mathbf{r}}{r^3} = \nabla\Phi^T \quad (5)$$

Na aula 2, foi determinado o potencial gravitacional de um corpo axis simétrico:

$$\Phi = \frac{\mu}{r} - \frac{\mu}{r} \sum_{n=2}^{\infty} \left( \frac{R_e}{r} \right)^n J_n P_n(\sin \delta) \quad (6)$$

Onde:  $R_e$  é o raio equatorial do planeta,  $\delta$  é a latitude,  $P_n$  é o polinômio de Legendre de grau  $n$ ,  $J_n$  é a  $n$ -ésima constante de Jeffery.

Na equação 6, o primeiro termo da soma ( $\frac{\mu}{r}$ ) é o potencial gravitacional da massa pontual (igual ao de um planeta com massa esfericamente distribuída). Os demais estão relacionados com a **não esfericidade do planeta**. Sendo assim, o **potencial perturbativo** é:

$$\Phi = -\frac{\mu}{r} \sum_{n=2}^{\infty} \left( \frac{R_e}{r} \right)^n J_n P_n(\sin \delta) \quad (7)$$

Assim, o efeito do achatamento dos pólos é avaliado determinando-se a solução da equação diferencial abaixo:

$$\frac{d^2 \mathbf{r}}{dt^2} + \mu \frac{\mathbf{r}}{r^3} = -\frac{\partial}{\partial \mathbf{r}} \frac{\mu}{r} \sum_{n=2}^{\infty} \left( \frac{R_e}{r} \right)^n J_n P_n(\sin \delta) \quad (8)$$

A ideia do processo de solução desta equação é a mesma dos cursos básicos de equações diferenciais:

- Primeiro, determina-se a solução da equação homogênea. No caso, a equação não perturbada 1;
- Depois, determina-se uma solução particular da equação não homogênea;
- A solução não homogênea é interpretada como um **desvio em relação à órbita kepleriana**.

### 3.1 Equações Planetárias de Lagrange

Na sequência, é apresentado um método para determinação da solução perturbada devido a um potencial perturbativo.

Para encontrar uma **solução perturbada**, supõe-se que ela seja uma **função dos 6 parâmetros das órbitas keplerianas e do tempo**. Os parâmetros orbitais serão agrupados em um vetor  $\mathbf{c}$ . Por exemplo, adotando os parâmetros orbitais clássicos, o vetor é:

$$\mathbf{c} = [c_1, c_2, c_3, c_4, c_5, c_6]^T = [a, e, \tau, \Omega, i, \omega]^T \quad (9)$$

Considere que a solução é escrita a partir das funções genéricas  $\mathbf{f}$  e  $\mathbf{g}$ :

$$\mathbf{r} = \mathbf{f}(\mathbf{c}, t), \quad \mathbf{v} = \mathbf{g}(\mathbf{c}, t) \quad (10)$$

Onde:

$$\mathbf{v} = \frac{d\mathbf{r}}{dt} = \frac{\partial \mathbf{f}}{\partial t} \quad (11)$$

Quando  $\mathbf{f}$  e  $\mathbf{g}$  são a **solução do problema não perturbado**, os **parâmetros orbitais são constantes**.

O método de solução consiste em substituir na equação da aceleração perturbativa a solução da equação não perturbada. Para isso, calcula-se a derivada das funções na equação 10 pela regra da cadeia:

$$\frac{d\mathbf{r}}{dt} = \frac{d\mathbf{f}}{dt} = \frac{\partial \mathbf{f}}{\partial t} + \frac{\partial \mathbf{f}}{\partial \mathbf{c}} \frac{d\mathbf{c}}{dt}$$

$$\frac{d\mathbf{r}}{dt} = \mathbf{v} = \frac{\partial \mathbf{f}}{\partial t} \quad (\text{equação 11})$$

$$\begin{aligned} \frac{\partial \mathbf{f}}{\partial t} + \frac{\partial \mathbf{f}}{\partial \mathbf{c}} \frac{d\mathbf{c}}{dt} &= \frac{\partial \mathbf{f}}{\partial t} \\ \frac{\partial \mathbf{f}}{\partial \mathbf{c}} \frac{d\mathbf{c}}{dt} &= 0 \end{aligned} \quad (12)$$

$$\frac{d^2\mathbf{r}}{dt^2} = \frac{d\mathbf{v}}{dt} = \frac{\partial \mathbf{v}}{\partial t} + \frac{\partial \mathbf{v}}{\partial \mathbf{c}} \frac{d\mathbf{c}}{dt} = \frac{\partial}{\partial t} \frac{\partial \mathbf{f}}{\partial t} + \frac{\partial \mathbf{g}}{\partial \mathbf{c}} \frac{d\mathbf{c}}{dt}$$

$$\frac{d^2\mathbf{r}}{dt^2} = \frac{\partial^2 \mathbf{f}}{\partial t^2} + \frac{\partial \mathbf{g}}{\partial \mathbf{c}} \frac{d\mathbf{c}}{dt} \quad (13)$$

Substituindo as equações 10 e 13 na equação 5:

$$\begin{aligned} \frac{\partial^2 \mathbf{f}}{\partial t^2} + \frac{\partial \mathbf{g}}{\partial \mathbf{c}} \frac{d\mathbf{c}}{dt} + \mu \frac{\mathbf{f}}{r^3} &= \nabla \Phi^T \\ \frac{\partial^2 \mathbf{f}}{\partial t^2} + \mu \frac{\mathbf{f}}{r^3} + \frac{\partial \mathbf{g}}{\partial \mathbf{c}} \frac{d\mathbf{c}}{dt} &= \nabla \Phi^T \end{aligned}$$

Como assumiu-se que  $\mathbf{f}$  e  $\mathbf{g}$  satisfazem a equação de dinâmica do problema não perturbado, a soma dos dois primeiros termos na equação acima é zero, resultando na **equação diferencial perturbativa**:

$$\frac{\partial \mathbf{g}}{\partial \mathbf{c}} \frac{d\mathbf{c}}{dt} = \nabla \Phi^T \quad (14)$$

As equações 12 e 14 formam um conjunto de 6 equações diferenciais para determinar a

variação dos parâmetros orbitais em função da aceleração perturbativa:

$$\frac{\partial \mathbf{f}}{\partial \mathbf{c}} \frac{d\mathbf{c}}{dt} = 0 \quad (15)$$

$$\frac{\partial \mathbf{g}}{\partial \mathbf{c}} \frac{d\mathbf{c}}{dt} = \nabla \Phi^T \quad (16)$$

Para seguir com a dedução, serão feitas as definições de notação:

- $\hat{\mathbf{r}} = \mathbf{f}$  e  $\hat{\mathbf{v}} = \mathbf{g}$  são as soluções do problema não perturbado (kepleriano);
- $\tilde{\mathbf{r}}$  e  $\tilde{\mathbf{v}}$  são as perturbações das soluções keplerianas, de modo que:
- Soluções perturbadas:  $\mathbf{r} = \hat{\mathbf{r}} + \tilde{\mathbf{r}}$  e  $\mathbf{v} = \hat{\mathbf{v}} + \tilde{\mathbf{v}}$ .

Com esta notação, as equações 15 e 16 podem ser escritas como:

$$\frac{\partial \hat{\mathbf{r}}}{\partial \mathbf{c}} \frac{d\mathbf{c}}{dt} = 0 \quad (17)$$

$$\frac{\partial \hat{\mathbf{v}}}{\partial \mathbf{c}} \frac{d\mathbf{c}}{dt} = \nabla \Phi^T \quad (18)$$

O conjunto de equações diferenciais 17, 18 é reescrito usando álgebra matricial:

$$\begin{bmatrix} \frac{\partial \hat{\mathbf{r}}}{\partial \mathbf{c}} \\ \frac{\partial \hat{\mathbf{v}}}{\partial \mathbf{c}} \end{bmatrix} \frac{d\mathbf{c}}{dt} = \begin{bmatrix} \mathbf{0}_{3 \times 1} \\ \nabla \Phi^T \end{bmatrix} \quad (19)$$

Ambos os lados da equação matricial 19 são multiplicados pela matriz:

$$\mathbf{M} = \begin{bmatrix} -\left(\frac{\partial \hat{\mathbf{v}}}{\partial \mathbf{c}}\right)^T & \left(\frac{\partial \hat{\mathbf{r}}}{\partial \mathbf{c}}\right)^T \end{bmatrix} \quad (20)$$

$$\begin{bmatrix} -\left(\frac{\partial \hat{\mathbf{v}}}{\partial \mathbf{c}}\right)^T & \left(\frac{\partial \hat{\mathbf{r}}}{\partial \mathbf{c}}\right)^T \end{bmatrix} \begin{bmatrix} \frac{\partial \hat{\mathbf{r}}}{\partial \mathbf{c}} \\ \frac{\partial \hat{\mathbf{v}}}{\partial \mathbf{c}} \end{bmatrix} \frac{d\mathbf{c}}{dt} = \begin{bmatrix} -\left(\frac{\partial \hat{\mathbf{v}}}{\partial \mathbf{c}}\right)^T & \left(\frac{\partial \hat{\mathbf{r}}}{\partial \mathbf{c}}\right)^T \end{bmatrix} \begin{bmatrix} \mathbf{0}_{3 \times 1} \\ \nabla \Phi^T \end{bmatrix}$$

$$\left( \left(\frac{\partial \hat{\mathbf{r}}}{\partial \mathbf{c}}\right)^T \frac{\partial \hat{\mathbf{v}}}{\partial \mathbf{c}} - \left(\frac{\partial \hat{\mathbf{v}}}{\partial \mathbf{c}}\right)^T \frac{\partial \hat{\mathbf{r}}}{\partial \mathbf{c}} \right) \frac{d\mathbf{c}}{dt} = \left(\frac{\partial \hat{\mathbf{r}}}{\partial \mathbf{c}}\right)^T \nabla \Phi^T \quad (21)$$

O gradiente da função potencial é dado em função da distância radial  $\mathbf{r}$ :

$$\nabla \Phi = \frac{\partial \Phi}{\partial \mathbf{r}}$$

Usando-se a regra da cadeia, pode-se transformar da variável  $\mathbf{r}$  (solução do problema perturbado) para  $\hat{\mathbf{r}}$  (solução do problema não perturbado):

$$\nabla \Phi = \frac{\partial \Phi}{\partial \mathbf{r}} = \frac{\partial \Phi}{\partial \hat{\mathbf{r}}} \frac{\partial \hat{\mathbf{r}}}{\partial \mathbf{r}}$$

Como  $\mathbf{r} = \hat{\mathbf{r}} + \tilde{\mathbf{r}}$ , o resultado acima pode ser expresso como:

$$\nabla\Phi = \frac{\partial\Phi}{\partial\hat{\mathbf{r}}} \left( \mathbf{I}_{3\times 3} - \frac{\partial\tilde{\mathbf{r}}}{\partial\mathbf{r}} \right)$$

Assumindo que o efeito de segunda ordem  $\frac{\partial\tilde{\mathbf{r}}}{\partial\mathbf{r}}$  tem impacto pequeno no cálculo da aceleração perturbativa, ela é dada por:

$$\nabla\Phi \approx \frac{\partial\Phi}{\partial\hat{\mathbf{r}}} \quad (22)$$

Substituindo o resultado da equação 22 em 21:

$$\left( \left( \frac{\partial\hat{\mathbf{r}}}{\partial\mathbf{c}} \right)^T \frac{\partial\hat{\mathbf{v}}}{\partial\mathbf{c}} - \left( \frac{\partial\hat{\mathbf{v}}}{\partial\mathbf{c}} \right)^T \frac{\partial\hat{\mathbf{r}}}{\partial\mathbf{c}} \right) \frac{d\mathbf{c}}{dt} = \left( \frac{\partial\hat{\mathbf{r}}}{\partial\mathbf{c}} \right)^T \frac{\partial\Phi}{\partial\hat{\mathbf{r}}} \quad (23)$$

O lado direito da equação acima é reescrito em termos da regra da cadeia:

$$\left( \frac{\partial\hat{\mathbf{r}}}{\partial\mathbf{c}} \right)^T \frac{\partial\Phi}{\partial\hat{\mathbf{r}}} = \frac{\partial\Phi}{\partial\mathbf{c}}$$

Assim a equação 23 é escrita como:

$$\left( \left( \frac{\partial\hat{\mathbf{r}}}{\partial\mathbf{c}} \right)^T \frac{\partial\hat{\mathbf{v}}}{\partial\mathbf{c}} - \left( \frac{\partial\hat{\mathbf{v}}}{\partial\mathbf{c}} \right)^T \frac{\partial\hat{\mathbf{r}}}{\partial\mathbf{c}} \right) \frac{d\mathbf{c}}{dt} = \frac{\partial\Phi}{\partial\mathbf{c}} \quad (24)$$

A equação 24 pode ser reescrita definindo-se a **matriz de Lagrange**:

$$\mathbf{L} = \left( \frac{\partial\hat{\mathbf{r}}}{\partial\mathbf{c}} \right)^T \frac{\partial\hat{\mathbf{v}}}{\partial\mathbf{c}} - \left( \frac{\partial\hat{\mathbf{v}}}{\partial\mathbf{c}} \right)^T \frac{\partial\hat{\mathbf{r}}}{\partial\mathbf{c}} \quad (25)$$

$$\mathbf{L} \frac{d\mathbf{c}}{dt} = \frac{\partial\Phi}{\partial\mathbf{c}} \quad (26)$$

Pela definição na equação 25, verifica-se facilmente que a matriz de Lagrange é anti-simétrica:

$$\mathbf{L}^T = -\mathbf{L}$$

Segundo a referência [2], também pode-se demonstrar que a matriz de Lagrange não depende explicitamente do tempo:

$$\frac{\partial\mathbf{L}}{\partial t} = \mathbf{0}$$

A equação 26 define 6 equações diferenciais de primeira ordem, uma para cada parâmetro orbital. Elas são equações diferenciais de primeira ordem que determinam a taxa de variação

dos parâmetros orbitais em função do potencial perturbativo. Estas equações diferenciais são chamadas de **equações planetárias de Lagrange**.

### 3.2 Variações dos Elementos Orbitais com Achatamento dos Pólos

Abaixo, são apresentadas as equações planetárias de Lagrange para o caso que está sendo estudado:

- Os parâmetros orbitais são os clássicos:  $\mathbf{c} = [a, e, \tau, \Omega, i, \omega]^T$ ;
- O potencial perturbativo está associado ao planeta com achatamento nos pólos;
- Ou seja, o potencial perturbativo é dado pela equação 7, sendo função das constantes de Jeffery.

As equações diferenciais que apresentam a taxa de variação dos elementos orbitais serão apresentadas sem demonstração.

De acordo com a referência [1] as taxas de variação de  $\Omega$  e  $\omega$ , levando em conta a primeira constante de Jeffery ( $J_2$ ), são:

$$\dot{\Omega} = \frac{h}{\mu \sin i (1 + e \cos \theta)} \left( -\frac{3\mu}{2r^2} J_2 \left( \frac{R_e}{r} \right)^2 \sin 2i \sin(\omega + \theta) \right) \quad (27)$$

$$\begin{aligned} \dot{\omega} = & -\frac{r \cos \theta}{eh} \left( -\frac{3\mu}{2r^2} J_2 \left( \frac{R_e}{r} \right)^2 (1 - 3 \sin^2 i \sin^2(\omega + \theta)) \right) + \\ & \frac{(2 + e \cos \theta) \sin \theta}{he} \left( -\frac{3\mu}{2r^2} J_2 \left( \frac{R_e}{r} \right)^2 \sin^2 i \sin(2(\omega + \theta)) \right) \\ & - \frac{r \sin(\omega + \theta)}{h \tan i} \left( -\frac{3\mu}{2r^2} J_2 \left( \frac{R_e}{r} \right)^2 \sin 2i \sin(\omega + \theta) \right) \end{aligned} \quad (28)$$

Nas equações diferenciais 27 e 28, as taxas de variação são função da anomalia verdadeira  $\theta$ . Sendo assim, elas se alteram ao longo de uma órbita.

Mas, segundo as referências [2] e [1], os **efeitos instantâneos não são significativos**, eles geram **pouco impacto sobre uma única órbita**.

O maior **efeito é cumulativo**, ou seja: mudanças perceptíveis ocorrem somente depois de um número significativo de voltas. Neste sentido, algumas referências costumam escrever as equações diferenciais dos parâmetros orbitais em termos da **média relativa a uma órbita completa**.

Neste contexto, a referência [2] apresenta as derivadas médias dos parâmetros orbitais  $a$ ,  $e$ ,  $\omega$  e  $\Omega$  ao longo de uma órbita elíptica completa, levando em conta somente a primeira constante



de Jeffery:

$$\frac{d\bar{a}}{dt} = 0 \quad (29)$$

$$\frac{d\bar{e}}{dt} = 0 \quad (30)$$

$$\frac{d\bar{\omega}}{dt} = \frac{3}{4}nJ_2 \left(\frac{R_e}{p}\right)^2 (5\cos^2 i - 1) \quad (31)$$

$$\frac{d\bar{\Omega}}{dt} = -\frac{3}{2}nJ_2 \left(\frac{R_e}{p}\right)^2 \cos i \quad (32)$$

Assim, o efeito da perturbação devido ao achatamento dos polos, quando somente a primeira constante de Jeffery (a mais significativa) é contabilizado, mantém o **formato da órbita inalterado**, pois ao longo de órbitas completas as variações médias do semi eixo maior e da excentricidade são nulas.

Por outro lado, esta perturbação provoca a **mudança de direção da órbita**:

- A variação da **longitude celeste do nodo ascendente** está relacionada à **mudança de direção da linha dos nodos**;
- A variação do **argumento de periastro** está associada à **mudança de direção da linha dos apsides**.

As derivadas médias  $\dot{\bar{\Omega}}$  e  $\dot{\bar{\omega}}$  são constantes. Assim, o movimento da **linha dos nodos** e da **linha dos apsides** é uma **rotação com velocidade angular média constante**.

Para uma órbita com inclinação  $0 < i < 90^\circ$  (chamada de **órbita direta**),  $\dot{\bar{\Omega}} < 0$ . Assim, a longitude celeste do nodo ascendente diminui a cada órbita, fazendo com que **linha dos nodos se mova em sentido oposto ao avanço da órbita**. Esse fenômeno é chamado de **regressão dos nodos**. O movimento ocorre no sentido **inverso** para uma **órbita retrógrada** (a qual é definida para  $-90^\circ < i < 0$ ), ou seja:

- Para órbitas diretas, há regressão da linha dos nodos;
- Para órbitas retrógradas, há progressão da linha dos nodos.

O efeito de regressão dos nodos está ilustrado na figura 1, que traz o gráfico da equação 32 em função da inclinação para alguns valores de semi eixo maior e excentricidade  $e = 0,001$ .

O comportamento de  $\dot{\bar{\omega}}$  depende do sinal da expressão  $5\cos^2 i - 1$ , podendo ser negativo, positivo ou nulo. A inclinação para a qual  $\dot{\bar{\omega}} = 0$  é chamada de **inclinação crítica**, sendo dada por:

$$5\cos^2 i_c - 1 = 0, \rightarrow \cos^2 i_c = \frac{1}{5}, \rightarrow \cos i_c = \pm\sqrt{\frac{1}{5}}$$

$$i_c = \pm \cos^{-1} \frac{1}{\sqrt{5}}$$

Para inclinações na faixa  $0 \leq i \leq 180^\circ$ , existem duas soluções de inclinação crítica:

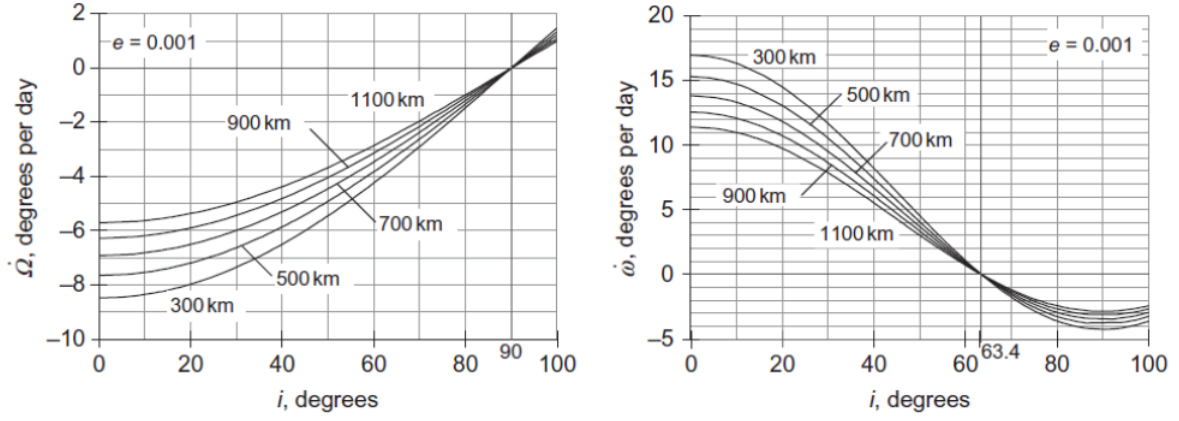


Figura 1: Regressão dos nodos e avanço de periastro para órbitas quase cíclicas. Fonte: ref. [2]

- $i_c = 63,44^\circ$
- $i_c = 116,57^\circ$

Quando a inclinação é igual a um dos valores críticos, a **taxa média de variação do argumento de periastro é zero**. Assim, a **linha dos apsides não apresenta rotação**.

O sinal da derivada média  $\dot{\omega}$  é avaliado nos intervalos seguintes:

- Para  $0 \leq i < 63,44^\circ$  ou  $116,57^\circ < i \leq 180^\circ$ ,  $\dot{\omega} > 0$ , o que caracteriza uma **rotação da linha dos apsides na mesma direção do movimento orbital**, sendo chamada de **avanço de periastro**;
- Para  $63,44^\circ < i < 116,57^\circ$ ,  $\dot{\omega} < 0$ , o que caracteriza uma **rotação da linha dos apsides na direção oposta do movimento orbital**, sendo chamada de **regresso de periastro**.

O efeito de avanço de periastro também está ilustrado na figura 1, que trás o gráfico da equação 31 em função da inclinação para alguns valores de semi eixo maior e excentricidade  $e = 0,001$ .

### 3.3 Órbita Hélio Síncrona

Um efeito benéfico da regressão nodal é a **órbita hélio síncrona** ilustrada na figura 2, a qual é utilizada para **mapeamento fotográfico** e **satélites de observação**. Uma órbita hélio síncrona possibilita uma **elevação solar constante em um dado ponto**, o que é muito desejável para fotografias de superfície.

Em uma órbita hélio síncrona, o **plano orbital** forma um **ângulo constante com a radial do Sol até a Terra**. Para que isto ocorra, o plano orbital deve rodar no espaço inercial com uma **velocidade angular igual a da Terra ao redor do Sol**, que é  $360^\circ$  a cada 365,26 dias, ou  **$0,9856^\circ$  por dia**.

Este tipo de órbita síncrona vai **cruzar uma dada latitude** em um **tempo solar fixo**. Na ilustração da figura 2, isto ocorre às 3 da tarde. Durante cada órbita, o satélite vê a **mesma**

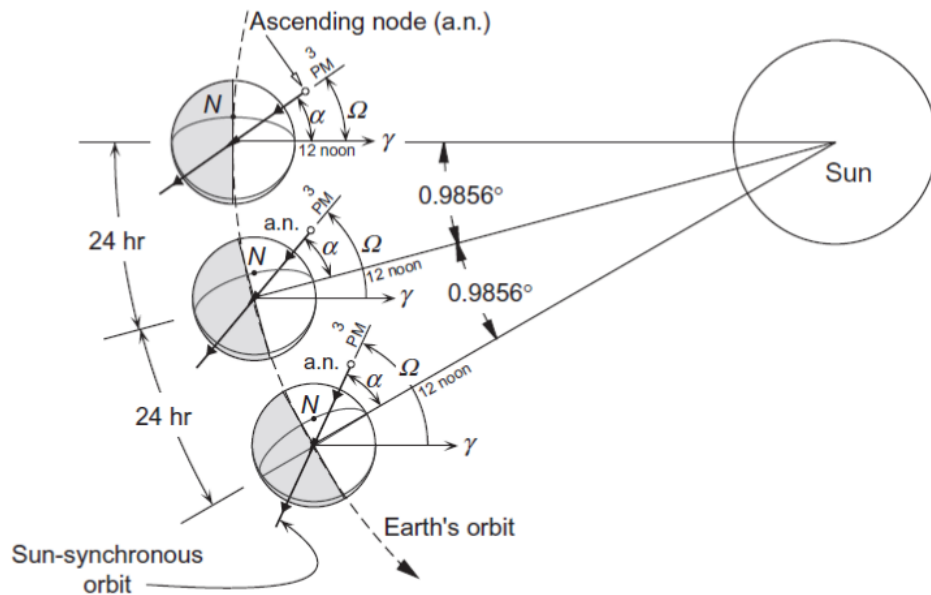


Figura 2: Órbita helio-síncrona. Fonte: ref. [2]

**porção de solo** sempre com aproximadamente a **mesma condição de luz ou escuridão**, dia após dia.

Exemplos de satélites que usam este recurso:

- NOAA Polar orbiting environmental satellite (NOAA/POES);
- Defense Meteorological Satellite Program (DMSP);
- Landsat, SPOT (observação da Terra em alta resolução).

**Exercício:** reproduza o exemplo 6.1 da referência [2].

### 3.4 Órbita Molniya

Outra aplicação especial desenvolvida com base nos resultados desta aula são as **órbitas Molniya**, que a Rússia usa para satélites de **comunicação em altas latitudes**, onde se situa a maior parte do país. Uma órbita Molniya é ilustrada na figura 3.

Para que as comunicações sejam efetivas, os satélites devem permanecer em altas latitudes por longos períodos. Isso resulta em órbitas altamente elípticas, sendo adotado o valor de excentricidade  $e = 0,73$ . O período destas órbitas é aproximadamente 12 horas. O **apogeu** se situa na direção do **polo norte**.

Para uma órbita Molniya, é crucial que a **latitude do periastro não mude devido à rotação dos apsides**, o que é provocado pelo achatamento da Terra. Então, **uma órbita Molniya sempre tem a inclinação crítica  $i_c = 63,44^\circ$** , para a qual  $\dot{\omega} = 0$ .

A alta inclinação de uma órbita Molniya é obtida a partir de lançamentos do **centro de Plesetsk**, localizado em uma **latitude de  $62,8^\circ$** . Como visto em outras aulas, lançar de uma latitude próxima da inclinação da órbita otimiza o lançamento, reduzindo o consumo de propelente, isso é muito desejado especialmente para inclinações altas.

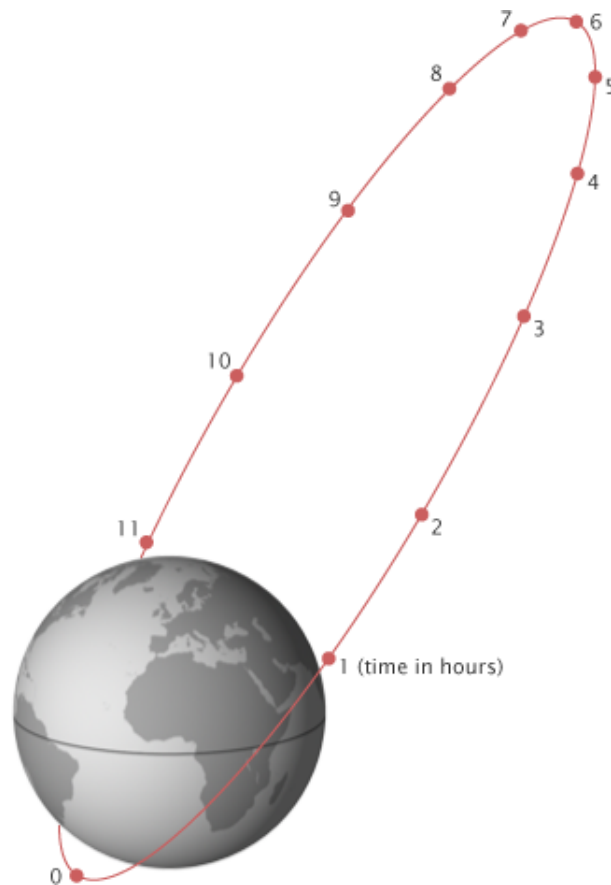


Figura 3: Órbita Molniya. Fonte: NASA <http://earthobservatory.nasa.gov/Features/OrbitsCatalog/page2.php>

A inclinação de uma órbita Molniya causa regressão nodal a uma taxa de  $\dot{\Omega} = -0,0024^\circ/\text{dia}$  (Exercício: calcule este resultado), resultando em  $\dot{\Omega} = -0,8766^\circ/\text{ano}$

## Referências

- [1] H.D. CURTIS. *Orbital Mechanics for Engineering Students*. Butterworth-Heinemann, Oxford, 3rd edition, 2013.
- [2] A. TEWARI. *Atmospheric and Space Flight Dynamics: Modelling and simulation with MATLAB and Simulink*. Birkhauser, Boston, 2007.